

非小细胞肺癌中 Biglycan 高表达与肺癌的恶性程度相关

杨志强 温媛媛 钱立勇 李 略

摘要 目的 研究 Biglycan 在人非小细胞肺癌中的表达,并分析其表达与肺癌临床病理特征及恶性程度的关系。**方法** 采用免疫组织化学(SP)法检测 102 例非小细胞肺癌石蜡包埋组织中 Biglycan 蛋白的表达情况,分析其表达与临床病理因素之间的相关性。应用 Western blot 法及 RT-PCR 方法检测肺癌细胞中 Biglycan 的表达情况,采用脂质体介导法将 Biglycan 干扰片段 Biglycan siRNA 转染入肺癌细胞系 A549 和 SK-MES-1 后,利用 RT-PCR 和 Western blot 法检测 Biglycan 在 mRNA 和蛋白水平的表达情况,并应用 MTT 法、Transwell 法检测干扰 Biglycan 表达后对肺癌细胞增殖和侵袭的影响。**结果** Biglycan 在非小细胞肺癌中高表达,其高表达与肺癌高 TNM 分期($P = 0.022$)、低分化($P = 0.034$)和淋巴结转移($P = 0.028$)显著相关。Biglycan 在肺癌细胞系中呈高表达。在干扰 Biglycan 表达后,与未处理组及转染对照 siRNA 组相比,Biglycan 的 mRNA($P < 0.05$)和蛋白($P < 0.05$)表达均明显下降,细胞生长增殖能力 [$P < 0.01(2 \sim 4$ 天); $P < 0.01(2 \sim 4$ 天)] 减弱,细胞侵袭数目 ($8.41 \pm 1.03, 11.24 \pm 1.21, P < 0.05$) 减少。**结论** 非小细胞肺癌中 Biglycan 存在普遍高表达现象,并且 Biglycan 的高表达可能参与了肺癌恶性表型的形成过程。

关键词 非小细胞肺癌 Biglycan 临床病理特征 增殖 侵袭

中图分类号 R737.9 **文献标识码** A **DOI** 10.11969/j.issn.1673-548X.2016.08.012

Up-regulation of Biglycan is Associated with Malignant Phenotype of Nonsmall Cell Lung Cancer. Yang Zhiqiang, Wen Yuanyuan, Qian Liyong, et al. Zhoushan Hospital, Zhejiang 316000, China

Abstract Objective To study the expression and significance of Biglycan in the malignant progression of nonsmall cell lung cancer (NSCLC). **Methods** Immunohistochemistry SP method was used to examine the expression of Biglycan protein in 102 paraffin-embedded specimens. The relationship between the expression of Biglycan protein and clinicopathological factors was analyzed. The expression of Biglycan mRNA and protein were detected by RT-PCR and Western blot. A549 and SK-MES-1 cells were transfected with Biglycan siRNA or control siRNA using Lipofectamine 2000. The cell proliferation was analyzed by MTT and the cell invasion was tested by Transwell. **Results** Immunohistochemical analysis showed that Biglycan expression level was significantly higher in NSCLC tissues, and increased Biglycan expression in NSCLC tissues was related to poor differentiation($P = 0.034$), the higher clinical stage($P = 0.022$) and lymph node metastasis($P = 0.028$). The expression of Biglycan was higher in lung cancer cells than in normal bronchial epithelial cell ($P < 0.05$). Compared with untreated and the cells transfected with control siRNA, the level of Biglycan mRNA ($P < 0.05$) and protein ($P < 0.05$) were decreased in the cells transfected with the Biglycan siRNA. The cell growth rate [$P < 0.01(2 \sim 4$ days); $P < 0.01(2 \sim 4$ days)] was slower, the numbers of cell invasion ($8.41 \pm 1.03, 11.24 \pm 1.21, P < 0.05$) were decreased. **Conclusion** Up-regulation of Biglycan is associated with malignant phenotype of human NSCLC.

Key words NSCLC; Biglycan; Clinicopathological factors; Proliferation; Invasion

双糖链蛋白聚糖(Biglycan)属于富含亮氨酸低分子蛋白聚糖(SLRPs)家族成员,由两个糖胺多糖和 1 个核心蛋白组成。糖胺多糖由硫酸皮质素/硫酸软

骨素组成,核心蛋白分子质量为 38kDa,含 10 个富亮氨酸的重复单位。Biglycan 几乎表达于身体的各个器官,在发育的骨、软骨、纤维组织及牙周组织中广泛分布^[1]。Biglycan 是细胞外基质(ECM)的重要组成成分,ECM 在细胞的黏附、生长分化中起作用,ECM 作为肿瘤细胞生存的微环境,与肿瘤细胞的侵袭和转移密切相关^[2]。Biglycan 表达于细胞表面或细胞周围间质,可在细胞基质旁聚集,且其表达模式随着生长因子和某些病理因素的调节而改变^[3,4]。有研究

基金项目:国家自然科学基金青年科学基金资助项目(81201853);浙江省自然科学基金资助项目(Y2111209, LY16H160058);浙江省医药卫生科技计划项目(2015121805)

作者单位:316000 浙江省舟山医院(杨志强、温媛媛、钱立勇、李略);325035 温州医科大学(杨志强)

通讯作者:温媛媛,电子信箱:wenyuanyuan1022@sina.cn

已证实 Biglycan 可以直接或间接调控细胞迁移、黏附与生长等生物学行为^[5]。另外,有研究表明,Biglycan 在调控炎症反应、骨骼发育、肌肉发育和再生方面也起到关键作用^[6~10]。近年来大量研究发现,Biglycan 广泛表达于各种肿瘤组织中,如结肠癌、卵巢癌、肝癌、胰腺癌与牙源性肿瘤等,提示 Biglycan 可能与肿瘤的发生发展密切相关^[11~15]。

本研究拟采用免疫组织化学方法检测 Biglycan 在非小细胞肺癌组织中的表达情况,分析其表达与肺癌患者临床病理因素之间的相关性。采用 RNA 干扰技术,观察沉默 Biglycan 基因表达后对非小细胞肺癌细胞增殖和侵袭能力的影响,探讨 Biglycan 在肺癌发生发展中的作用。

材料与方法

1. 材料:(1)标本来源与患者资料:收集浙江省舟山医院病理科 2000~2014 年原发性非小细胞肺癌患者手术切除标本存档蜡块 102 例,所有患者术前均未接受放、化疗。其中,男性 59 例,女性 43 例。患者年龄 33~76 岁(中位年龄 57 岁)。按 WHO(2010 年)组织学分类标准:鳞状细胞癌 46 例,腺癌 56 例。按国际抗癌联盟(UICC)2002 年修订的 TNM 分期标准:I 期 32 例,II 期 26 例,III 期 34 例,IV 期 10 例。淋巴结转移 62 例,无淋巴结转移 40 例。标本均经 10% 中性甲醛固定,石蜡包埋,HE 常规染色后明确诊断。所有标本的使用均征得了伦理委员会同意且患者本人知情同意。(2)主要试剂:免疫组织化学(SP)法检测试剂盒、DAB 酶底物显色试剂盒(DAB-0031)(中国福州迈新生物技术公司);兔抗人 Biglycan 抗体(Santa Cruz),β-actin 抗体(北京中杉金桥生物技术有限公司);Biglycan siRNA(Santa Cruz);DMEM 培养液、胎牛血清(美国 Gibco 公司);甲基噻唑基四唑(methyl thiazolyl tetrazolium, MTT)(美国 Sigma 公司);Lipofectamine 2000(美国 Invitrogen 公司);RNA PCR Kit(AMV)Ver. 3.0 试剂盒(大连 TaKaRa 公司);PCR 引物合成与测序委托大连 TaKaRa 公司进行。

2. 方法:(1)免疫组织化学染色及结果判定:组织经中性甲醛固定、石蜡包埋,制成 4 μm 连续切片。按照 SP 免疫组织化学检测试剂盒说明书步骤进行 Biglycan(1:200)免疫组织化学染色。PBS 代替第 1 抗体做阴性对照,用已知阳性片做阳性对照。Biglycan 判定标准:Biglycan 以细胞质中出现棕黄色颗粒为阳性显色。每张切片随机选取 5 个高倍视野(×

400),每高倍视野计数 100 个目的细胞。将 Biglycan 表达阳性率分为以下 4 个等级: $\leq 25\%$ 为 0 分, $26\% \sim 50\%$ 为 1 分, $51\% \sim 75\%$ 为 2 分, $> 75\%$ 为 3 分。根据免疫组化染色强度分为 3 个等级:无着色计为 0 分,浅黄色颗粒计为 1 分,棕黄色颗粒计为 2 分。以 Biglycan 表达阳性率和染色强度的分值乘积作为每 1 例的积分,积分 ≥ 3 分者判定为阳性,积分 < 3 分者判定为阴性。(2)细胞培养、RNA 干扰:人正常支气管上皮细胞系 HBE、人肺腺癌细胞系 A549 与人肺鳞癌细胞系 SK-MES-1。3 种细胞均为贴壁生长的细胞系,均接种在 DMEM 培养液(含 10% 胎牛血清、100U/ml 青霉素和 100 μg/ml 链霉素)中,于 37°C、含 5% CO₂ 湿润空气的培养箱中培养。使用 Biglycan siRNA,阴性对照(未转染组、control siRNA 组),使用脂质体 Lipofectamine 2000 将 siRNA 导入肺癌细胞系 A549 与 SK-MES-1 中(具体步骤按试剂说明书进行)。转染 48h 后进行后续 Western blot 法和 RT-PCR 检测。(3)Western blot 法检测:于 4°C 下取 1~2g 标本,加约 5 倍湿重的裂解缓冲液,粉碎匀浆后,4°C 静置 24h,低温高速离心(4°C, 12000r/min, 40min),提取上清即为总蛋白。经电泳、转印,5% 正常小牛血清封闭,抗 Biglycan(1:400)和抗 β-actin(1:500)4°C 下孵育,过夜;于二抗室温下孵育 2h;ECL 显色,X 线胶片曝光成像,经自动电泳凝胶成像分析仪采集图像。(4)RT-PCR 检测:采用 Trizol 试剂提取细胞总 RNA,利用 RNA PCR Kit(AMV)Ver. 3.0 试剂盒反转录获得 cDNA,扩增 Biglycan,以 β-actin 为内参。扩增产物经 1.5% 琼脂糖凝胶电泳后成像分析。Biglycan PCR 上游引物:5'-GGACTCT-GTCACACCCACCT-3';下游引物:5'-AGCTCG-GAGATGTCGTTGTT-3'。β-actin PCR 上游引物:5'-CGGCATTGTCAGCACTG-3';下游引物:5'-CGCTCGGTCAAGGATCTC-3'。(5)MTT 法:将单个细胞悬液分别接种于 96 孔培养板中,每孔含 10⁴ 个细胞,培养 24h,每孔加入 MTT 溶液继续培养 4h,加入 DMSO,490nm 波长下测定各孔吸收值,以不含细胞的等体积培养基作对照。绘制细胞生长曲线。(6)基质胶侵袭实验(Transwell 侵袭小室测定):在 Transwell 小室上室加入 100 μl 预冷的用的 Matrigel 基质胶(按基质胶与无血清 DMEM 培养基 1:7 稀释),下室中加入 600 μl 含 10% 胎牛血清 DMEM 培养基,将转染后 24h 的肺癌细胞接种到上室,并于 37°C 含 5% CO₂ 孵箱中培养 32h 后吸尽培养基,PBS 清洗后,

甲醇室温下固定15 min,用棉签擦掉微孔膜上表面的细胞,苏木素染色,室温干燥过夜。取下微孔膜,置载玻片上,显微镜下计数侵袭至滤膜下表面的细胞数,每张滤膜随机计数10个视野($\times 400$),取均值。实验重复3次,数据用均数 \pm 标准差($\bar{x} \pm s$)表示。

3. 统计学方法:采用SPSS 13.0统计学分析软件,免疫组化采用Pearson Chi-Square检验。RT-PCR、Western blot法、MTT和细胞侵袭实验结果均采用t检验进行数据分析,用均数 \pm 标准差($\bar{x} \pm s$)表示。以 $P < 0.05$ 为差异有统计学意义。

结 果

1. 在非小细胞肺癌组织中Biglycan蛋白高表达,并与肺癌的低分化、高pTNM分期和淋巴结转移相关:为了明确Biglycan蛋白在肺癌组织中的表达情况,笔者采用免疫组织化学方法,结果显示,在人肺正

常支气管黏膜上皮细胞中,Biglycan蛋白表达水平低下,然而在检测的102例非小细胞肺癌标本中,其中75例标本(73.5%)Biglycan呈现胞质强阳性,具有明显高表达特征(图1)。笔者进一步分析了102例非小细胞肺癌组织Biglycan蛋白表达与临床病理因素之间的关系。结果发现,Biglycan高表达与肺癌的低分化($P = 0.034$)、高pTNM分期($P = 0.022$)和淋巴结转移显著相关($P = 0.028$)。其中,在46例低分化病例中,42例(91.3%)存在Biglycan高表达;Ⅲ~Ⅳ期病例中93.2%(41/44)的病例Biglycan为高表达;在伴有淋巴结转移的病例中95.0%(38/40)的病例Biglycan存在高表达。此外,统计学显示Biglycan的高表达与患者的年龄、性别和组织学类型无明显相关性($P > 0.05$,表1)。

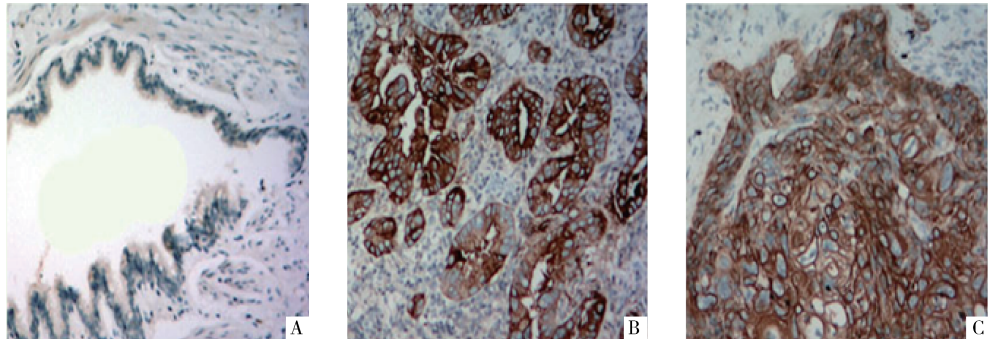


图1 Biglycan在肺组织中的表达情况($\times 200$)

A. Biglycan在肺正常支气管黏膜中低表达;B. Biglycan在肺腺癌组织中高表达,表达定位于细胞质;

C. Biglycan在肺鳞状细胞癌组织中高表达,表达定位于细胞质

表1 102例非小细胞肺癌组织中Biglycan的表达与临床病理因素之间的关系

临床病理因素	n	Biglycan			χ^2	P
		+	阳性率(%)			
性别						
男性	59	43	72.8	0.312	0.743	
女性	43	32	74.4			
年龄(岁)						
<57	56	42	75.0	0.391	0.697	
≥57	46	33	71.7			
组织学类型						
腺癌	52	40	76.9	0.420	0.656	
鳞状细胞癌	50	35	70.0			
分化程度						
高分化	56	33	58.9	5.111	0.034	
低分化	46	42	91.3			
临床分期						
I + II	58	34	58.6	5.481	0.022	
III + IV	44	41	93.2			
淋巴结转移						
-	62	37	59.7	5.341	0.028	
	+	40	38	95.0		

2. 在肺癌细胞系中Biglycan存在表达上调,沉默Biglycan后Biglycan mRNA和蛋白表达下调:为了进一步证实Biglycan在肺癌细胞系中也具有普遍高表达的现象,笔者应用RT-PCR和Western blot法分别检测了3种细胞系HBE(人正常支气管上皮细胞系)、A549(肺腺癌细胞系)与SK-MES-1(肺鳞癌细胞系)中Biglycan的mRNA和蛋白表达情况。结果显示,在检测的两种肺癌细胞系A549与SK-MES-1中A、B)。为了验证Biglycan siRNA的干扰效果,笔者在实验的两种肺癌细胞系A549与SK-MES-1中瞬时转染Biglycan siRNA,并以未处理及转染control siRNA作为阴性对照组,运用RT-PCR和Western blot方法检测相应细胞的Biglycan mRNA和蛋白表达,并统计其表达间的差异。结果显示,在实验组瞬

时转染 Biglycan siRNA 48h 后, Biglycan mRNA 和蛋白表达均较对照组显著下调, 且差异有统计学意义

($P < 0.05$, 图 2 中 C、D), 证明实验选用的 Biglycan siRNA 干扰效果是确定的。

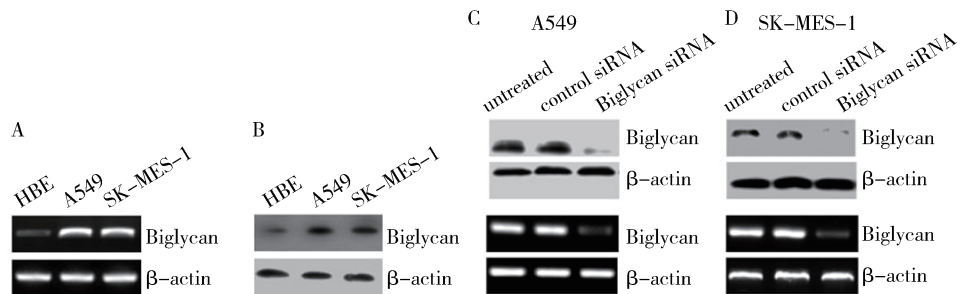


图 2 Biglycan 在肺正常支气管上皮细胞系与肺癌细胞系中的表达

A. Biglycan mRNA 在肺癌细胞系 A549 与 SK - MES - 1 中表达高于肺正常支气管上皮细胞系; B. Biglycan 蛋白在肺癌细胞系 A549 与 SK - MES - 1 中表达高于肺正常支气管上皮细胞系; C. 在肺癌 A549 细胞系中, 与对照组相比, 干扰 Biglycan 表达后, Biglycan mRNA 与蛋白表达明显下调; D. 在肺癌 SK - MES - 1 细胞系中, 与对照组相比, 干扰 Biglycan 表达后, Biglycan mRNA 与蛋白表达明显下调

3. 沉默 Biglycan 表达可抑制肺癌细胞的增殖:为了验证“沉默”Biglycan 后对肺癌细胞增殖能力的影响, 笔者进行了 MTT 实验, 结果表明, 在肺癌细胞系 A549 与 SK - MES - 1 转染 Biglycan siRNA 1 天后, 与转染 control siRNA 组或未处理组相比, 细胞相应的吸

光度值无明显改变, 差异无统计学意义 ($P > 0.05$)。但在转染 Biglycan siRNA 2~4 天后, 细胞吸光度值较第 1 天有明显下降, 且差异具有统计学意义 ($P < 0.01$, 图 3 中 A、B)。以上结果提示沉默 Biglycan 表达可显著抑制肺癌细胞的增殖能力。

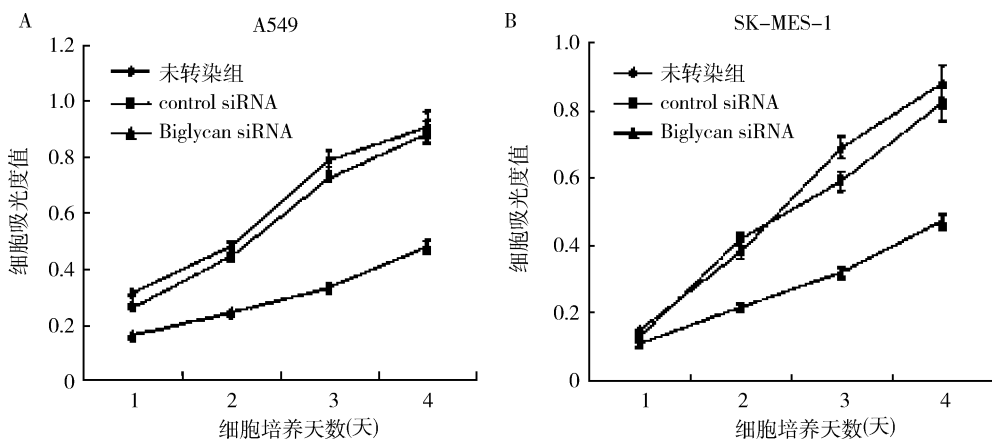


图 3 MTT 结果显示, 干扰 Biglycan 表达后 A549 与 SK - MES - 1 细胞增殖能力明显减弱

4. 沉默 Biglycan 表达可显著抑制肺癌细胞侵袭能力:为了观察“沉默”Biglycan 后对肺癌细胞侵袭能力的影响, 笔者进行了 Transwell 侵袭实验, 结果表明, 肺癌细胞系 A549 与 SK - MES - 1 在转染 Biglycan siRNA 后侵袭至滤膜下表面的细胞数分别为 8.41 ± 1.03 、 11.24 ± 1.21 , 与对照组 control siRNA (40.20 ± 3.64 , 52.12 ± 4.68) 或未处理组 (42.45 ± 3.86 , 49.22 ± 1.12) 相比较, 均明显减少, 且差异具有统计学意义 ($P < 0.05$, 图 4)。以上结果提示, 沉默 Biglycan 表达可显著抑制肺癌细胞的侵袭能力。

讨 论

许多研究表明, Biglycan 作为 SLPRs 的重要成员, 过表达 Biglycan 在肿瘤恶性进展中起重要作用^[13~15]。Zhu 等^[16]研究发现在 170 例食管鳞状细胞癌组织标本中, 高表达 Biglycan 与肿瘤的侵袭性、淋巴结转移和临床分期呈正相关, 且与患者 5 年生存率呈负相关。Liu 等^[17]采用免疫组化及实时定量 PCR 法检测发现在子宫内膜癌患者血清中 Biglycan 的浓度与临床分期、组织学分级、淋巴结转移呈显著相关, 且 Biglycan 表达上调与子宫内膜癌的侵袭、转移等恶性生物学行为相关。然而, 有研究报道, 在胰腺癌中,

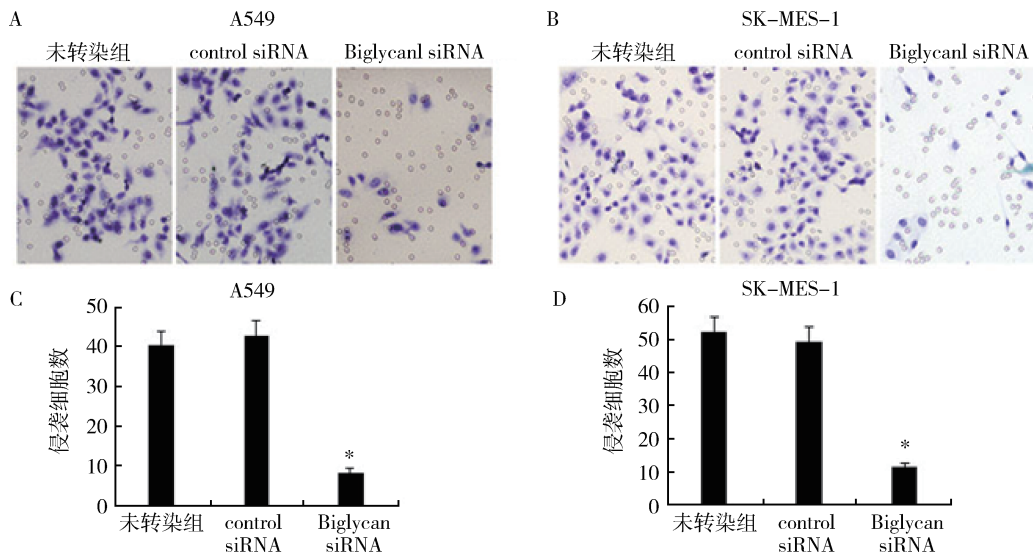


图4 干扰 Biglycan 表达后 A549 与 SK - MES - 1 细胞侵袭能力明显减弱

A. 与未转染组和对照组相比,干扰 Biglycan 表达后,A549 侵袭细胞数目明显减少;B. 与未处理组和对照组相比,干扰 Biglycan 表达后,SK - MES - 1 侵袭细胞数目明显减少;C. 肺癌细胞系 A549 各组别中细胞侵袭数目的统计学分析;D. 肺癌细胞系 SK - MES - 1 各组别中细胞侵袭数目的统计学分析。与未转染组相比较, * $P < 0.05$

Biglycan 可通过诱导 G₁ 期细胞周期阻滞来抑制细胞生长与增殖^[14]。由此可见, Biglycan 对不同组织肿瘤细胞生物学行为的影响不同。本研究免疫组化结果发现, Biglycan 在非小细胞肺癌中高表达,且 Biglycan 高表达与肺癌的低分化、高 pTNM 分期和淋巴结转移显著相关($P = 0.034$, $P = 0.022$, $P = 0.028$)。RT - PCR 与 Western blot 法检测结果发现, Biglycan 在非小细胞肺癌细胞中表达明显高于正常支气管黏膜上皮细胞,这与 Zhe 等和 Li 等的研究相一致。这些研究结果提示高表达 Biglycan 在非小细胞肺癌的恶性进展中起重要作用。

肿瘤细胞表面黏附分子减少,与 ECM 之间分离,可将 ECM 降解,从而可使癌细胞脱落进入血液循环,进而肿瘤细胞发生转移和侵袭^[18]。Biglycan 作为 ECM 的重要组成成分,因此与肿瘤的侵袭和转移密切相关。研究发现, Biglycan 可通过 cdk - 2 与 P27 依赖的信号途径来促进细胞增殖^[19]。过表达 Biglycan 可通过上调 VEGF 的表达来促进结肠癌细胞的增殖,并抑制细胞凋亡^[20]。Biglycan 可通过抑制 caspase - 3 的活性来抑制肾小球系膜细胞的凋亡。以上研究都表明 Biglycan 与肿瘤细胞的侵袭增殖密切相关,在本研究中,笔者研究发现,与未处理组和转染对照 siRNA 组相比较,干扰 Biglycan 表达后,肺癌细胞 A549 和 SK - MES - 1 增殖能力显著降低。同时侵袭实验结果表明,肺癌细胞侵袭能力明显减弱。

综上所述, Biglycan 在非小细胞肺癌恶性进程中发挥重要作用,以其作为靶点将为肺癌的治疗提供新思路。Biglycan 作为癌基因可通过多种信号途径来调节肿瘤细胞的生物学行为,这有待于进一步研究。

参考文献

- Chung IS, Son YI, Ko YJ, et al. Peritumor injections of purified tumstatin delay tumor growth and lymphatic metastasis in an orthotopic oral squamous cell carcinoma model [J]. Oral Oncol, 2008, 44(12): 1118 - 1126
- Hocking AM, Shinomura T, McQuillan DJ. Leucine-rich repeat glycoproteins of the extracellular matrix [J]. Matrix Biol, 1998, 17(1): 1 - 19
- Gotte M, Sofeu Feugaing DD, Kresse H. Biglycan is internalized via a chlorpromazine-sensitive route [J]. Cell Mol Biol Lett, 2004, 9(3): 475 - 481
- Wadhwa S, Embree MC, Bi Y, et al. Regulation, regulatory activities, and function of biglycan [J]. Crit Rev Eukaryot Gene Expr, 2004, 14(4): 301 - 315
- Kinsella MG, Bressler SL, Wight TN. The regulated synthesis of versican, decorin, and biglycan: extracellular matrix proteoglycans that influence cellular phenotype [J]. Crit Rev Eukaryot Gene Expr, 2004, 14(3): 203 - 234
- Schaefer L, Babelova A, Kiss E, et al. The matrix component biglycan is proinflammatory and signals through Toll-like receptors 4 and 2 in macrophages [J]. J Clin Invest, 2005, 115(8): 2223 - 2233
- Berendsen AD, Fisher LW, Kilts TM, et al. Modulation of canonical Wnt signaling by the extracellular matrix component biglycan [J]. Proc Natl Acad Sci U S A, 2011, 108(41): 17022 - 17027
- Inkson CA, Ono M, Bi Y, et al. The potential functional interaction

- of biglycan and WISP - 1 in controlling differentiation and proliferation of osteogenic cells [J]. Cells Tissues Organs, 2009, 189(1 - 4): 153 - 157
- 9 Casar JC, McKechnie BA, Fallon JR, et al. Transient up - regulation of biglycan during skeletal muscle regeneration: delayed fiber growth along with decorin increase in biglycan - deficient mice [J]. Dev Biol, 2004, 268(2): 358 - 371
- 10 Mercado ML, Amenta AR, Hagiwara H, et al. Biglycan regulates the expression and sarcolemmal localization of dystrobrevin, syntrophin, and nNOS [J]. FASEB J, 2006, 20(10): 1724 - 1726
- 11 Gu X, Ma Y, Xiao J, et al. Up - regulated biglycan expression correlates with the malignancy in human colorectal cancers [J]. Clin Exp Med, 2012, 12(3): 195 - 199
- 12 Pan S, Cheng L, White JT, et al. Quantitative proteomics analysis integrated with microarray data reveals that extracellular matrix proteins, catenins, and p53 binding protein 1 are important for chemotherapy response in ovarian cancers [J]. OMICS, 2009, 13(4): 345 - 354
- 13 Nishino R, Honda M, Yamashita T, et al. Identification of novel candidate tumour marker genes for intrahepatic cholangiocarcinoma [J]. J Hepatol, 2008, 49(2): 207 - 216
- 14 Weber CK, Sommer G, Michl P, et al. Biglycan is overexpressed in pancreatic cancer and induces G1 - arrest in pancreatic cancer cell lines [J]. Gastroenterology, 2001, 121(3): 657 - 667
- 15 Modolo F, Biz MT, Martins MT, et al. Expression of extracellular matrix proteins in adenomatoid odontogenic tumor [J]. J Oral Pathol Med, 2010, 39(3): 230 - 235
- 16 Zhu YH, Yang F, Zhang SS, et al. High expression of biglycan is associated with poor prognosis in patients with esophageal squamous cell carcinoma [J]. Int J Exp Pathol, 2013, 6(11): 2497 - 2505
- 17 Liu Y, Li W, Li X, et al. Expression and significance of biglycan in endometrial cancer [J]. Arch Gynecol Obstet, 2014, 289(3): 649 - 655
- 18 Barkan D, Green JE, Chambers AF, et al. Extracellular matrix: a gatekeeper in the transition from dormancy to metastatic growth [J]. Eur J Cancer, 2010, 46(7): 1181 - 1187
- 19 Shimizu - Hirota R, Sasamura H, Kuroda M, et al. Extracellular matrix glycoprotein biglycan enhances vascular smooth muscle cell proliferation and migration [J]. Circ Res, 2004, 94(8): 1067 - 1074
- 20 刑晓静, 谷小虎, 马天飞. Biglycan 及 VEGF 对结肠癌细胞增殖、凋亡能力的影响及分子机制 [J]. 肿瘤学杂志, 2014, 20(6): 471 - 476
 (收稿日期:2015-12-28)
 (修回日期:2016-01-04)

下调心肌 CD36 的表达对肥胖小鼠心肌活性氧簇生成的影响

张逸杰 刘景 戴明彦 曹权 何文博 包明威

摘要 目的 研究定向下调心肌 CD36 的表达对高脂饮食诱导的肥胖小鼠心肌组织中活性氧簇(ROS)含量的影响。**方法** 4周龄的雄性C57小鼠,随机分为正常对照组(N-mock)、肥胖对照组(O-mock)及肥胖干预组(O-CD36),采用高脂饮食诱导肥胖。6周龄时,向心肌内分别注射靶向CD36(O-CD36)或靶向无关基因(N-mock,O-mock)的重组慢病毒。10周后,取小鼠心室组织检测CD36的mRNA及蛋白表达水平;行油红O染色检测心肌组织内中性脂质含量;并使用冷冻切片染色法及流式细胞术检测心肌细胞内ROS含量。**结果** 慢病毒介导的RNA干扰显著下调了O-CD36小鼠心肌组织中CD36的表达。肥胖引起心肌组织内中性脂质蓄积,下调心肌CD36的表达显著减少了中性脂质的含量。高脂饮食还导致心肌ROS的含量显著增加,而下调CD36的表达可以改善甚至逆转这一进程。**结论** CD36在高脂肪酸代谢所引起的ROS生成增加中起重要作用,定向下调心肌CD36的表达可以减少心肌组织ROS的含量,改善心肌氧化应激。

关键词 RNA干扰 CD36 肥胖模型 中性脂质 活性氧簇

中图分类号 R589.2 **文献标识码** A **DOI** 10.11969/j.issn.1673-548X.2016.08.013

Effects of Cardiac CD36 Inhibition on Generation of Myocardial Reactive Oxygen Species. Zhang Yijie, Liu Jing, Dai Mingyan, et al.

Department of Cardiology, Renmin Hospital of Wuhan University, Cardiovascular Research Institute of Wuhan University, Hubei Key Laboratory of Cardiology, Hubei 430060, China

Abstract Objective To study the effects of cardiac - specific CD36 inhibition on generation of myocardial reactive oxygen species

基金项目:国家自然科学基金资助项目(面上项目)(81570460);国家自然科学基金青年科学基金资助项目(81500668);中央高校基本科研业务费专项资金资助项目(2042014kf0172)

作者单位:430060 武汉大学人民医院心内科、武汉大学心血管病研究所、心血管病湖北省重点实验室

通讯作者:包明威,主任医师,副教授,硕士生导师,电子信箱:mbao@whu.edu.cn